

# ネットワーク遅延に差のある SAN 環境における ZFS サーバの性能評価

井手 孝幸<sup>1</sup> 梶田 秀夫<sup>2</sup>

**概要:** ストレージサービスには、品質の維持とデータ資産の損失からの保護が求められる。そこで、RAID 機能を用いて WAN を介した遠隔地にあるストレージに対し、リアルタイムにストレージデータの複製を作成し、Disaster Recovery の役割を目指した IP-SAN を構築することを考える。この RAID 構成時、ローカル設置のサーバと遠隔地設置のサーバとの間に無視できないほどのネットワークレイテンシの差が発生し、ストレージのアクセス性能が低下することが予想される。そこで、本稿では、ZFS の階層化機能を用い、広域に広がる IP-SAN におけるレイテンシがストレージ性能にどのように影響を与えるかについて評価を行った。

## Performance Evaluation of ZFS Server in SAN Environment with Different Latency

**Abstract:** In this paper, We propose IP-SAN including storage device over WAN. Then, different latency between closer storage and distant storage cause lower disk throughput. Therefore, we improve disk throughput with iSCSI parameter or cache device. We show the plan with the balance of storage capacity and cost, and improve the performance.

### 1. はじめに

ネットワーク上のストレージの利用の増加に伴い、企業や個人などで多様なファイルを共有または保管する場所としてネットワーク上に統合ストレージサーバが構築されている。その時、ストレージサービスには、品質の維持とデータ資産の損失からの保護が求められる。そこで、提案する構成では、汎用的に使用され、安価に利用できる機器を用いて IP-SAN[8] を構築する。

また、従来の統合ストレージサーバでのデータの保管方法において、一ヶ所のデータセンタに集中的に管理しておく構成では、データセンタがある地域に災害が発生した場合にデータを損失するリスクが高い。そのため、TCP/IP で転送を行う WAN[4] を用い、遠隔地に置かれたストレージに定期的なバックアップを行う運用が行われているが、

その場合、最新のファイルをリカバリできない状況が発生する問題がある。

そこで、最新のファイルもリカバリできるようにするため、RAID 機能 [5] を用いてリアルタイムに WAN を介した遠隔地にあるストレージに対し、バックアップの役割を持つストレージデータの複製を作成し、Disaster Recovery を目指すためのストレージ構成を考える。

この RAID 構成時、従来の統合ストレージサーバと遠隔地に設置するバックアップ用のストレージサーバの間に無視できないほどのネットワーク遅延の差が発生し、ストレージのアクセス性能が低下することが予想される。

本研究では、ストレージシステムとして ZFS[6] を利用する。ZFS は主に Oracle Solaris[13] 上で使用されているファイルシステムであり、128 ビットアドレス空間を特徴とする膨大な容量に対応できる拡張性がある。また、ストレージの自動階層化機能 [7] を備え、高速で小容量の SSD デバイスと低速で大容量の SAS, SATA ディスクを性能と容量拡張時のコストのバランスを考慮して配置できる特徴がある。

本稿では、ネットワーク遅延に対して、上記のような

<sup>1</sup> 京都工芸繊維大学 工芸科学部  
Undergraduate School of Science and Technology, Kyoto Institute of Technology

<sup>2</sup> 京都工芸繊維大学 情報科学センター  
Center for Information Science, Kyoto Institute of Technology

キャッシュデバイスの効果に加えて、同時接続数などのパラメータを調整することによる性能改善効果を調査する等、ネットワーク遅延がネットワークストレージ性能に与える影響とその運用時面での対策の評価を行う。

## 2. 要求

IP-SAN を構築する上で求められる要求を述べる。

**要求 1** ストレージの管理者が行える設定の調整で可能な限りのスループットを確保すること

通常、ネットワークレイテンシによりディスクスループットは低下する傾向にある。上記の対策は様々考えられているが、iSCSI 環境の TCP/IP プロトコルに手を入れることでスループットを確保するといった方法 [1] が考えられている。

しかし、ストレージ管理者が IP-SAN を構築する時、上記の対策は容易に行えないと考えた。そこで、実験での性能評価では、TCP/IP の設計を変更することは行わず、管理者が行える設定値を適切に調整することによって対策する。また、管理者が IP-SAN 構築時にストレージデバイスを性能に応じて割り振りを適切に行い、レイテンシの対策を行う。

**要求 2** 低コストにストレージ容量を確保、拡張できるデバイスを用いること

IP-SAN において、コスト面で破綻しない拡張性を持たせることを考える。

そこで、実験での性能評価では、低コストなデバイスを用いてストレージ容量を増やすことができるようにしておくため、SATA のディスクをストレージとして用いる。

## 3. 実験用に構築した IP-SAN の構成

本章では、広域な IP-SAN をエミュレーションするために構築したネットワーク構成について述べる。

IP-SAN のエミュレータを構築する上で必要となるものを以下に示す。

- iSCSI Initiator サーバ
- iSCSI Target サーバ
- ルータ (ネットワークレイテンシのエミュレータ)
- Gigabit Ethernet スイッチ

また、図 1 に用いたデバイスの構成図を示し、図 2 にプロトコルの階層図を示す。

### 3.1 IP-SAN を構成する機器

#### iSCSI Initiator サーバ

NAS が提供する iSCSI Target [3] に対して、IO 要求を行うサーバである。実験では、ネットワーク越しのストレージに対し、リアルタイムにバックアップを行うための構成として、iSCSI Target を RAID1 のミラー

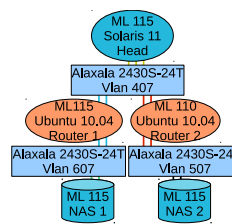


図 1 実験で構築した IP-SAN(デバイス構成)

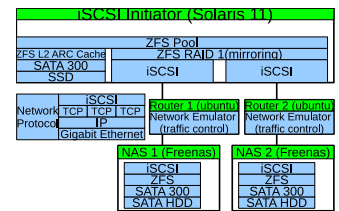


図 2 実験で構築した IP-SAN(プロトコル階層図)

リング構成 [9] で束ねる。また、ストレージデバイスは遠隔地にあることを想定し、実験を行う。そのため、ZFS の階層化機能を用いて L2 ARC Cache [7] をローカルに接続された SSD デバイスを用いて確保し、レイテンシにより低下した iSCSI Target のスループットを補う構成 [10] とする。

#### iSCSI Target サーバ

iSCSI Initiator に対して、ストレージとしてデータを保管する領域を提供するサーバである。NAS サーバの機能として iSCSI を提供できるため、これを用いて iSCSI Target サーバにする。実験では図 2 のように、iSCSI Target 側にも ZFS を用いた。

#### ルータ

WAN 環境をエミュレーションするために用いる。このルータにより、広域な IP-SAN を想定して実験を行う。実験では、iSCSI Target サーバが 2 台のサーバが別々の場所にあり、レイテンシが異なることを想定する。そのため、2 台の iSCSI Target サーバそれぞれに異なるレイテンシをかけることができるように 2 台のルータをそれぞれ設ける構成とした。このルータの tc コマンド機能として様々なレイテンシを変えつつ、実験を行う。

#### Gigabit Ethernet Switch

IP-SAN において、ネットワーク帯域がディスクの読み書きスループットを越えるようにし、ネットワークにおけるサチュレーションを起こさないように構成する。そのため、Gigabit Ethernet Switch の機能として Jumbo Frame, Link Aggregation を用いて IP-SAN を構築した。

### 3.2 IP-SAN の規模、構成する機器のスペック

1[TB] のストレージ容量を HDD2 個の RAID 1 で構成し、実験を行う。表 1 に iSCSI Initiator のスペックを示す。また、表 2 に図 2 での NAS 1 のスペック、表 3 に NAS 2 のスペックを示す。また、構築したパラメータの設定値を表 4 に示す。表 4 のパラメータは iSCSI Initiator, Target とルータで統一した。

表 1 iSCSI Initiator サーバのスペック

構成	スペック
Server	HP ProLiant ML115 G1
OS	Solaris 11
CPU	AMD Athlon 64 3500+ 2.2[GHz]
Memory	PC2-5300 Unbuffered DDR2 ECC 1[GB]x2
HBA	LSI SAS 3041E-R HBA 300[MB/s]
SSD	Solidata SSD X7 60[GB] (L2 ARC Cache として使用)
NIC	Intel Gigabit ET2 Quad Port Server Adapter (3[port] を Link Aggregation で使用)

表 2 iSCSI Target サーバのスペック:NAS 1

構成	スペック
Server	HP ProLiant ML115 G1
OS	Freenas 8.0.2 64[bit]
CPU	AMD Athlon 64 3500+ 2.2[GHz]
Memory	PC2-5300 Unbuffered DDR2 ECC 1[GB]x1
HDD	Western Digital WD10EALS 1[TB] (SATA, 300[GB/s] で接続)
NIC	Intel PRO/1000 PT Dual Port Server Adapter (2[port] を Link Aggregation で使用)

表 3 iSCSI Target サーバのスペック:NAS 2

構成	スペック
Server	HP ProLiant ML115 G1
OS	Freenas 8.0.2 64[bit]
CPU	AMD Athlon 64 3500+ 2.2[GHz]
Memory	PC2-5300 Unbuffered DDR2 ECC 2[GB]x1
HDD	Seagate ST2000DM001 2[TB] (SATA, 300[GB/s] で接続)
NIC	Intel PRO/1000 PT Dual Port Server Adapter (2[port] を Link Aggregation で使用)

表 4 iSCSI パラメータ

パラメータ	設定値
Max Receive Data Segment Length	262144[Bytes]
Jumbo Frame	8192[Bytes]
Max Connections	1~16[本](実験で変化させる)

## 4. 測定結果

### 4.1 実験 1-1: TCP Connection 数とディスクスループットの関係

図 3 には Sequential Read 時, 図 4 には Random Read 時の TCP Connection 数とスループットの関係を示す。

iSCSI Initiator において実行したベンチマークソフト fio[11] が示す, 測定時間全体を通したスループットの平均である”Bandwidth”の値を”Disk throughput”としてプロットした。図の横軸が NAS 2 のレイテンシ [ms] であり, 縦軸がディスクのスループット [MB/s] である。TCP Connection 数の種類毎に線グラフとして表示した。実験に用いるファイルサイズは表 1 のメモリサイズの 2 倍である 4[GB] とし, NAS 1 のレイテンシは 0.5[ms] で固定とした。

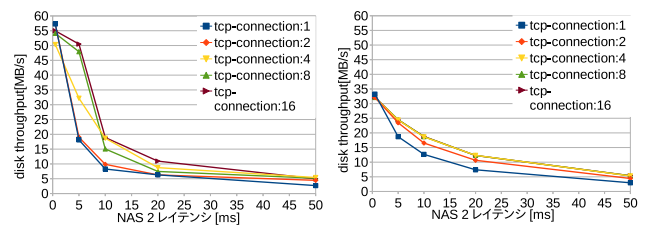


図 3 Sequential Read 時の TCP Connection 数とスループットの関係

図 4 Random Read 時の TCP Connection 数とスループットの関係

図 3, 4 を見ると, レイテンシが大きくなるにつれ, スループットが低下している様子が分かる。また, 小さいレイテンシの時のスループットの低下の度合いは大きいレイテンシの時よりも大きい。

次に, レイテンシが小さい 0.5[ms] 時には, TCP Connection を複数張る時よりも 1[本] の場合の方がスループットが高くなっている。

そして, レイテンシが 5[ms] 時, TCP Connection が 1[本] の時よりも複数本張った時の線グラフが上側にあることから, TCP Connection 数が多い線グラフが 1[本] の線グラフと交わって入れ替わり, Sequential/Random 共に TCP Connection を複数張ることによって, スループットが改善する効果が出ていることが分かる。また, NAS 2 のレイテンシが 5[ms] 時では, TCP Connection を 8[本], 16[本] 張ることによって Sequential Read 時のスループットが 2 倍以上 1[本] の時よりも大きく, 改善の度合いが大きい。

### 4.2 実験 1-2: 時間軸方向における TCP Connection 数とディスクスループットの関係

4.1 節では, 実験時間全体を通した平均のディスクのスループットを用いて比較したが, ここでは, 1[s] の時間ごとにディスクのスループットを計測した線グラフを比較する。横軸を時間 [s], 縦軸をスループット [MB/s] とする。

zpool コマンドの iostat オプションを用いて時間ごとにスループットを測定し、図にプロットする。

図 5, 6 では Sequential Read 時, 図 7, 8 では Random Read 時の TCP Connection 数と時間ごとのスループットの関係を示す。NAS 1 のレイテンシは 0.5[ms], NAS 2 のレイテンシは 5[ms] で固定とした。Sequential Read 時では, 4[GB] のファイルを 3 回, Random Read 時では, 1 回読み込んでいる。

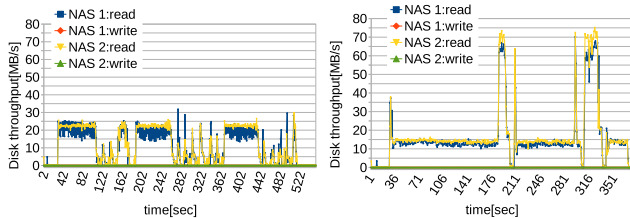


図 5 TCP Connection 数が 1 本の場合の時間ごとのスループット (Sequential Read) 図 6 TCP Connection 数が 8 本の場合の時間ごとのスループット (Sequential Read)

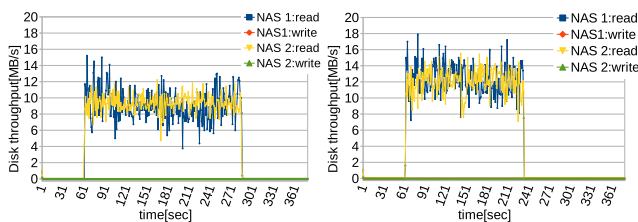


図 7 TCP Connection 数が 1 本の場合の時間ごとのスループット (Random Read) 図 8 TCP Connection 数が 8 本の場合の時間ごとのスループット (Random Read)

Sequential Read 時の図 5, 6 を比較すると, TCP Connection を 8[本] 張る時には, ディスクのスループットが 50[MB/s] 以上となる時間が現れることが分かる。よって, この時間があることが TCP Connection を複数張る時の効果として現れ, 図 3 のように, 5[ms] 時の全体を通したディスクのスループットも上昇すると分かる。

Random Read 時の図 7, 8 を比較すると, TCP Connection を 8[本] 張る時には, 全体を通して 1[本] の時よりスループットの向上が複数張る時の効果として見られることから, 図 4 のように, 全体を通したディスクのスループットも上昇すると分かる。

### 4.3 実験 2-1: L2 ARC Cache 導入時の TCP Connection 数とディスクスループットの関係

4.1 節での TCP Connection 数を増加させる対策に加えて, L2 ARC Cache を導入することにより, ディスクのスループットがどれほど改善できるか調べ, 図 9, 10 に示す。図の見方, プロットの方法, パラメータの設定は 4.1 節と

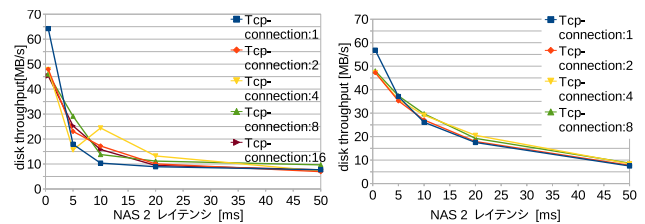


図 9 L2 ARC Cache 導入時の TCP Connection 数とスループットの関係 (Sequential Read) 図 10 L2 ARC Cache 導入時の TCP Connection 数とスループットの関係 (Random Read)

同様である。

Sequential Read 時において, 図 3 と図 9 を比較すると, 20[ms] や 50[ms] の高いレイテンシの場合において, L2 ARC Cache を導入する時のスループットが改善していることが分かる。20[ms] 時には, TCP Connection が 1,2 本時の改善が大きく, 50[ms] 時にはどの TCP Connection 数を見られる。

次に Random Read 時において, 図 4 と図 10 を比較すると, どのレイテンシの場合を比較しても, スループットが改善している。特に, 20[ms] や 50[ms] の高いレイテンシの時において, 約 2 倍改善し, 効果が高い。また, キャッシュ導入時には, TCP Connection の本数が変わっても, スループットが変化する度合いが小さくなっている。

### 4.4 実験 2-2: L2 ARC Cache とファイルサイズの比とキャッシュヒット率

4.3 節では, L2 ARC Cache のサイズと実験に用いるファイルサイズの比が 1:1 になるようにして実験した。

ここで, 実運用時では頻繁に読み込まれるファイルの容量に対し, どれくらいの L2 ARC Cache の容量を確保すれば効果的であるか調べることを考える。

そこで, L2 ARC Cache のサイズを越すファイルの読み込み時のスループットを調べた。

図 11, 12 では Sequential Read 時, 図 13, 14 では Random Read 時のスループットとヒット率の関係を示す。

ヒット率は solaris の kstat コマンドを用いて調べ, 実験時間全体を通した平均のヒット率 [%] とする。また, fio が示す Bandwidth をスループットとする。L2 ARC Cache のサイズは 4[GB] で固定とし, 読み込むファイルサイズをそれ以上に設定し, 実験する。NAS 1 のレイテンシを 0.5[ms], TCP Connection を 1[本] とし, NAS 2 のレイテンシ 10[ms], TCP Connection を 8[本] とする。

図 11 と図 13 の Sequential/Random のスループットを比較すると, Random Read 時には, L2 ARC Cache を越えてファイルサイズが大きくなるにつれ, スループットが低下する様子が見られる。

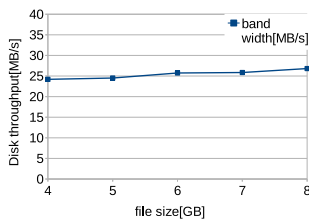


図 11 ファイルサイズとスループットの関係 (Sequential Read)

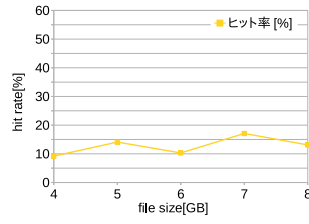


図 12 ファイルサイズと L2 ARC Cache ヒット率 (Sequential Read)

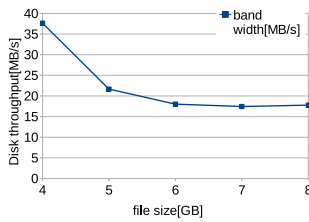


図 13 ファイルサイズとスループットの関係 (Random Read)

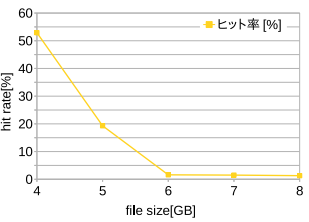


図 14 ファイルサイズと L2 ARC Cache ヒット率 (Random Read)

そこで、図 13 と図 14 を見ると、キャッシュヒット率がスループットの傾向に沿っていることから、Random Read 時には、L2 ARC Cache が効果的に働き、スループットを高めていることが分かる。

また、キャッシュヒット率とスループットは L2 ARC Cache のサイズにファイルサイズに近い方が急激に低下する様子が見られる。キャッシュとファイルサイズの比が  $4[GB]:6[GB]=2:3$  以上になる時には、キャッシュヒット率が  $0[\%]$  に近づいていることから、有効にキャッシュが効いていないことが分かる。

#### 4.5 実験 3: 異なるアクセスパターンにおけるレイテンシとスループットの関係

今までの実験における、ベンチマークソフト fio に加え、iozone[12] による IO 要求でのアクセスパターンにおけるレイテンシとスループットの関係を図 15, 16 に示す。

図の x 軸方向が NAS 1, y 軸方向が NAS 2 のレイテンシ [ms] であり、z 軸方向がディスクのスループット [MB/s] である。Sequential Read を IO 要求とし、TCP Connection 数は 1[本] とする。

図 15, 16 を見ると、iozone による IO 要求でのアクセスパターンでは、NAS 2 のレイテンシ 20[ms] の方向に NAS 1 のレイテンシを 0.5[ms] から 20[ms] に揃えるようレイテンシを増加させる時、スループットが増加していることが分かる。一方 fio によるアクセスパターンでは上記のような現象は見られず、一定のスループットとなっている。

よって、iozone での IO 要求によるアクセスパターンのように、レイテンシを揃えたほうがスループットが上昇す

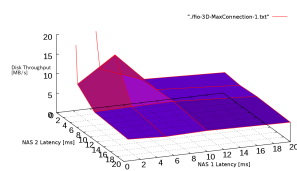


図 15 fio によるレイテンシとスループットの関係

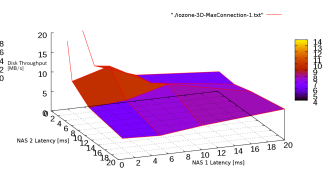


図 16 iozone によるレイテンシとスループットの関係

る場合があることが分かる。

## 5. 考察

### 5.1 要求に対する評価

2 節での管理者が行える設定の範囲で IP-SAN が構築できているか考察する。

実験での構築に使用した OS は表 1, 2, 3 のように、iSCSI Initiator が Solaris であり、iSCSI Target が FreeNAS と異なっている。

しかし、それぞれの OS において、インストール直後の状況のまま使用しても問題なく組み合わせることができた。それは、iSCSI プロトコルの規格に沿って IP-SAN を構築できているためと考えられる。iSCSI は RFC で標準化されており [2]、管理者が行える IP-SAN の構築手段であると考えられる。

また、実験におけるパラメータの設定はすべてコマンドと設定ファイルを用いて行い、パッチやソースコードの再コンパイルは行っていない。よって、設定の範囲においてレイテンシに対する対策ができていると考えられる。

### 5.2 実験の性能評価

レイテンシ対策として TCP Connection を何本張っておくとよいか考える。

そこで、Sequential Read 時における図 3 を見ると、レイテンシが  $0.5[ms] \sim 5[ms]$  において、8, 16[本] TCP Connection を張る時、1, 2, 4[本] 張る時よりもレイテンシが増大する場合でもスループットが高く維持され、安定している。また、図 3 を見るとき、 $5[ms] \sim 10[ms]$  間に急にスループットが落ち込んでいる。しかし、レイテンシが  $10[ms]$  までは TCP Connection が 1, 2[本] の時よりも 8, 16[本] の時のスループットが高く、効果がある。

よって、Sequential Read を特徴とするストレージサーバにおいて、レイテンシが  $5[ms]$  までの遠隔地にある iSCSI Target サーバの場合には、TCP Connection を 8, 16[本] 張ることによって、レイテンシ対策として高い効果が期待できると考えられる。また、TCP Connection を上記の本数張る場合でも、遠隔地とのレイテンシが  $10[ms]$  までの間に急にスループットの低下が発生するが、1[本] の時よりも改善できるため、効果があると考えられる。

次に、Random Read 時における図 4, 10 を比較する。

すると、TCP Connection を複数張るだけでは Sequential Read 時のようにスループットを維持することができず、低下が発生している。しかし、SSD デバイスを用いた L2 ARC Cache をレイテンシの対策として加えることにより、スループットが改善している。特に、レイテンシが 20, 50[ms] と大きい場合において、約 2 倍のスループットの上昇が見られる。

よって、Random Read を特徴とするストレージサーバにおいて、TCP Connection 数の対策に加え、SSD を用いた L2 ARC Cache を導入することはレイテンシ対策として効果が期待できる。また、Random Read 時において性能改善できた理由として、SSD は Random Read 性能が HDD よりも高く [16]、キャッシュヒット時のスループットが実験時間全体を通してのスループットを押し上げるためと考えられる。

しかし、図 13, 14 を見ると、ファイルサイズが L2 ARC Cache サイズを越えると、ヒット率が低下することによって、急にスループット低下が発生している。

よって、SSD は高価なデバイスであるにもかかわらず、L2 ARC Cache が十分に確保されていないとスループットの上昇が望めないことから、高価なデバイスの導入コストの対価として得られるレイテンシ対策であり、運用時にはコストと性能のトレードオフになると考えられる。

図 15, 16 では、あるアクセスパターン時においては、レイテンシが大きい側に小さい側を合わせることにより、スループットの向上が見られる。よって、iozone のようなアクセスパターンを持つストレージサーバにおいて、レイテンシを揃える運用をすることは有効だと考えられる。

しかし、iozone のアクセスパターンの特性は不明のため、この調査は今後の課題とする。

## 6. まとめ

本稿では、地域災害対策としてのデータのリアルタイム複製を目指し、遠隔地に設置されたストレージサーバに対し、RAID 機能を用いる環境を想定し、広域な IP-SAN を想定した実験環境を構築、そのストレージ性能を評価した。

結果、広域な IP-SAN で予想される、レイテンシによるディスクのスループットの低下に対する対策として、

- Sequential Read を特徴とするストレージサーバでは、TCP Connection を複数張ることによる効果がある
- Random Read を特徴とするストレージサーバでは、TCP Connection を複数張るに加え、L2 ARC Cache として SSD デバイスを用意することによって効果が高まる
- iozone のようなアクセスパターン時、レイテンシを揃えることにより効果があることがわかった。

## 謝辞

本研究の一部は、日本学術振興会・科学研究費補助金 (課題番号: 23501186) の助成による。

## 参考文献

- [1] B. K. Kancharla and G. M. Narayan and K. Gopinath: Performance Evaluation of Multiple TCP connections in iSCSI, Proceedings of the 24th IEEE Conference on Mass Storage Systems and Technologies (MSST 2007), pp.239-244, Sep. 2007.
- [2] RFC 3720, Internet Small Computer Systems Interface (iSCSI), <http://tools.ietf.org/html/rfc3720>
- [3] freenas.org, File Sharing, [http://www.freenas.org/features/feature-overview/item/file-sharing?category\\_id=108](http://www.freenas.org/features/feature-overview/item/file-sharing?category_id=108)
- [4] IT Pro, WAN 高速化アプライアンス, <http://itpro.nikkeibp.co.jp/article/ActiveST/20130115/449568/>
- [5] @IT, RAID 0 と RAID 1 とは, <http://www.atmarkit.co.jp/fwin2k/tutor/raiddic/raiddic.01.html>
- [6] @IT, Solaris ZFS の基本的な仕組みを知る, <http://www.atmarkit.co.jp/fserver/articles/zfs/01/01.html>
- [7] @IT, ZFS はどう活用できるか, <http://www.atmarkit.co.jp/fserver/articles/zfs/03/01.html>
- [8] ZDNet Japan, 多様化するストレージネットワーク (後編) -FC-SAN から IP-SAN, そして FCoE へ, [http://japan.zdnet.com/datacenter/sp\\_storage-network-2009/20389914/](http://japan.zdnet.com/datacenter/sp_storage-network-2009/20389914/)
- [9] Oracle Solaris 11 Information Library, ミラー化されたストレージプールを作成する, <http://docs.oracle.com/cd/E26924.01/html/E25824/gaypw.html#gazhv>
- [10] Oracle Solaris 11 Information Library, キャッシュデバイスを使用して ZFS ストレージプールを作成する, <http://docs.oracle.com/cd/E26924.01/html/E25824/gaypw.html#gfxtd>
- [11] Freecode, fio, <http://freecode.com/projects/fio>
- [12] iozone.org, IOzone Filesystem Benchmark, <http://www.iozone.org/>
- [13] Oracle Technology Network, Solaris 11 概要, <http://www.oracle.com/technetwork/jp/server-storage/solaris11/overview/index.html>
- [14] 勇雅人, 野本義弘, 石橋豊: iSCSI RAID を用いたビデオファイル共有システムの性能評価, 電子情報通信学会技術研究報告, CAS, 情報ネットワーク, no.107(423), pp.103-108, Jan. 2008.
- [15] 林恭平, 野本義弘, 石橋豊: 複数 TCP コネクションによる iSCSI を用いたビデオファイル共有システムの性能評価, 電子情報通信学会技術研究報告, CAS, 回路とシステム, no.108(453), pp.137-140, Feb. 2009.
- [16] 仁科 圭介, 並木 美太郎: SSD をディスクキャッシュとして利用する Linux ブロックデバイスドライバ, 情報処理学会研究報告, システムソフトウェアとオペレーティング・システム, 2010-OS-114(13), pp.1-8, Apr. 2010.